

بررسی رفتار خاک اطراف گروه شمع تحت بار جانبی در ماسه

مسعود حاجی علیلوی بناب (دانشیار)

حبيب آذربایا شاهگلی (کارشناس ارشد)

محمد حسین محصل (کارشناس ارشد)

دانشکده هندسی عمران، دانشگاه تبریز

رفتار گروه شمع تحت بارگذاری جانبی از وجود شمع‌های مجاور تأثیر می‌پذیرد. اندکشش شمع - خاک - شمع بسته به فاصله‌ی مرکز به مرکز شمع‌ها الگوی تنش و تغییر شکل را در اطراف یک گروه شمع تحت تأثیر قرار می‌دهد. در این نوشتار الگوی تغییر شکل خاک اطراف گروه شمع به طور جانبی بارگذاری شده در ماسه در آزمایشگاه روی مدلی با مقیاس کوچک با استفاده از مدل سازی فیزیکی و روش سرعت سنجی تصویری ذرات (PIV)^۱ برای موارد مختلف مطالعه شده و مورد تجزیه و تحلیل قرار گرفته است. بدین ترتیب که شمع مدل یکبار به صورت منفرد و شش بار به صورت گروه شمع دوتایی با فاصله‌ی مرکز به مرکز ۱، ۲، ۳، ۴، ۵ و ۶ برابر پنهانی شمع تحت آزمایش قرار گرفت. با استفاده از روش پردازش تصویری ذرات، الگوی تغییر شکل خاک اطراف شمع منفرد و گروه شمع با فواصل مختلف و اندکشش شمع - خاک - شمع مورد بحث و بررسی قرار گرفته است. نتایج آزمایشگاهی حاصله حاکی از آن است که با افزایش فاصله‌ی شمع‌ها، اثرات اندکشش گروه به طور قابل ملاحظه‌ی کاهش می‌یابد و درنتیجه رفتار شمع‌ها در گروه والگوی تغییر شکل خاک اطراف آن‌ها به رفتار شمع منفرد والگوی تغییر شکل خاک اطراف آن نزدیک‌تر می‌شود. در فاصله‌ی مرکز به مرکز ۶B شمع‌ها، اثر گروه^۲ از بین رفتار و شمع‌ها به صورت منفرد رفتار می‌کنند.

واژگان کلیدی: گروه شمع، بارگذاری، الگوی تغییر شکل خاک، اندکشش شمع، خاک، اثر گروه.

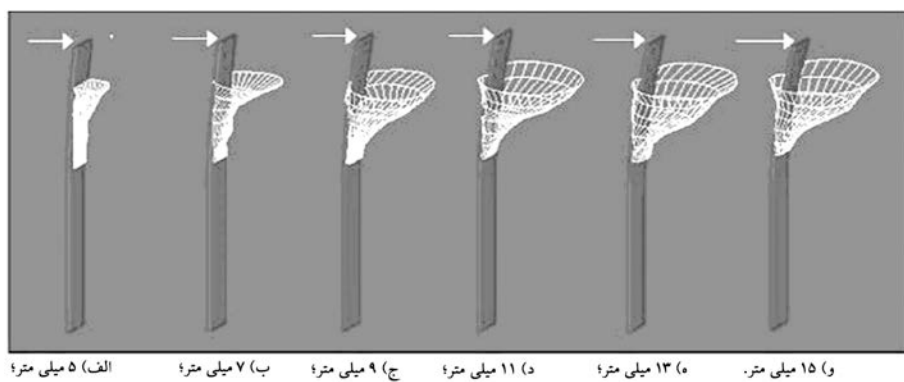
۱. مقدمه

متکی بر شمع‌ها، در پی‌های شمعی واقع در مناطق زلزله‌خیز و در پایه‌ی پل‌های متکی بر شمع، شمع‌ها تحت نیروهای افقی قرار می‌گیرند. با توجه به مطالب فوق، ضروری است که رفتار شمع‌ها تحت بارگذاری مطالعه شود. تاکنون بیشتر تحقیقات درمورد شمع تحت بارگذاری روی خود شمع، بررسی ظرفیت باربری جانبی آن، تغییر مکان جانبی، دوران و نیروهای داخلی ایجاد شده در شمع با نصب کردن سنجنگ‌هایی در طول آن انجام گرفته است. درمورد رفتار خاک اطراف والگوی تغییر شکل آن مطالعات بسیار کمی انجام شده، که قریب به اتفاق آن‌ها درمورد شمع منفرد است. براین اساس، انجام تحقیقاتی درمورد نحوه تغییر شکل خاک اطراف گروه شمع تحت بارگذاری و نیز بررسی اندکشش شمع - خاک ضرورت می‌یابد. اینکه به نمونه‌هایی از کارهای قبلی درمورد رفتار خاک اطراف شمع منفرد تحت بارگذاری می‌پردازیم.

در سال ۱۹۸۳ میلادی، جابه‌جایی افقی خاک در جلو شمع‌هایی که به طور جانبی بارگذاری شده بودند بررسی شد.^[۱] نتایج حاصله نشان می‌داد که در حالت کلی جابه‌جایی‌های افقی خاک بزرگ‌تر از جابه‌جایی‌های قائم آن است و هر دوی این جابه‌جایی‌ها با افزایش فاصله از سطح شمع به سرعت کاهش می‌یابند.

بارهای وارد به شمع‌ها از نوع محوری، جانبی و لنگرخمشی است؛ بار محوری می‌تواند از نوع کششی یا فشاری باشد. تقریباً تمام شمع‌ها تحت بارهای جانبی قرار می‌گیرند. در بعضی از سازه‌ها مقدار بارهای افقی نسبت به بارهای قائم ناچیز و قابل اغماض است. اما در مواردی شمع‌ها و گروه شمع‌ها، تحت بارهای جانبی قابل توجهی قرار می‌گیرند. مثلاً در اسکله‌ها و سازه‌های بندری، در سازه‌های نگهبان

تاریخ: دریافت ۳۱/۰۶/۱۳۸۸، اصلاحیه ۲۲/۱۲/۱۳۸۸، پذیرش ۲۵/۱۲/۱۳۸۸.



شکل ۱. الگوی گسیختگی خاک اطراف شمع تحت بار جانبی برای شش جابه‌جایی مختلف.

مقایسی مناسب و تحلیل ابعادی برای کنترل آن‌ها ضروری است. محسان استفاده از مدل سازی آزمایشگاهی با مقایس کوچک عبارت است از: کنترل کامل بر همهٔ جزئیات مدل، امکان انتخاب خاک مورد آزمایش، امکان انتخاب شرایط مرزی و بارگذاری مدل‌ها و در نتیجه افزایش دقت در نحوه‌ی اعمال بارگذاری، نیاز به خاک با مقدار کم، امکان انجام آزمایش‌های زیاد و تکرار مشاهدات و مطالعه‌ی تأثیر تغییر پارامترهای کلیدی، و درنهایت هزینه‌ی بسیار کم‌تر نسبت به آزمایش‌ها با مقایس واقعی.^[۵]

اکنون به بررسی مدل سازی فیزیکی شمع تحت بارگذاری جانبی می‌پردازیم. می‌دانیم معادله‌ی حاکم بر تغییر شکل شمع تحت بار جانبی عبارت است از:

$$EI \frac{d^4 y}{dz^4} = -ky \quad (1)$$

که در آن EI صلابت خمی شمع، y تغییر مکان افقی شمع، z عمق و k ضربه‌ی عکس العمل بستر است که متناسب با مدل برشی خاک G است: $\beta G \cdot k$. برای به‌هنگارسازی معادله‌ی ۱ ضربه‌ی پی‌بعدی مطابق رابطه‌ی ۲ تعریف می‌کنیم:

$$\lambda = \frac{y}{z}, \quad \xi = \frac{z}{l}, \quad (2)$$

که در آن ξ عمق بی‌بعد، l طول شمع، λ تغییر مکان بی‌بعد شمع و ψ تغییر مکان جانبی شمع در بالای آن است. بنابراین معادله‌ی ۱ چنین بازنویسی می‌شود:

$$EI \frac{d^4 \lambda}{dz^4} = -k\lambda \quad (3)$$

و از آنجا که $\beta G = k$, بنابراین $\frac{G l^4}{EI} = \phi$ پارامتر بی‌بعد مناسبی برای توصیف سختی نسبی شمع- خاک است. بنابراین می‌توان فرض کرد که اگر پارامتر بی‌بعد ϕ برای مدل و اندازه‌ی واقعی یکسان باشد، مدل سازی فیزیکی صحیح خواهد بود.^[۵] در ادامه روند مدل سازی فیزیکی و تحلیل نتایج حاصله با استفاده از روش PIV بررسی می‌شود.

۲. مصالح و تجهیزات مورد استفاده

۲.۱. جعبه آزمایش

جعبه‌یی چوبی به ابعاد $30 \times 80 \times 70$ cm³ از جنس چوب هفت لایی اندونزی و به ضخامت 18 mm به عنوان جعبه‌ی آزمایش مورد استفاده قرار گرفت. دلیل انتخاب این جنس چوب صلابت زیاد آن است. در وجه جلویی جعبه از یک طلق

در سال ۱۹۹۸ میلادی مدل گوه کرنش به وجود آمده در جلوی یک شمع تحت بار جانبی مورد بررسی قرار گرفت.^[۲] نتیجه‌ی این مطالعه نشان داد که مدل گوه کرنش، روشی مؤثر در حل مسئله‌ی شمع‌هایی است که به طور جانبی بارگذاری شده‌اند.

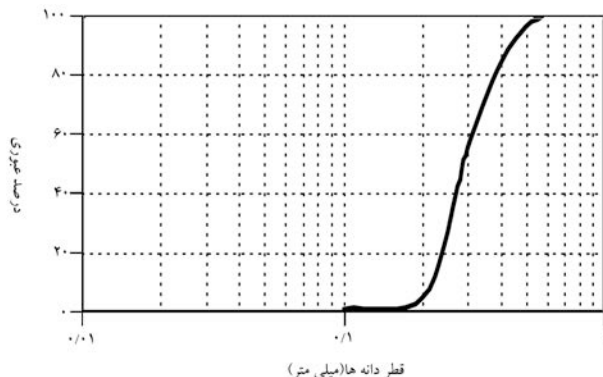
در سال ۲۰۰۶ میلادی الگوهای گسیختگی خاک ماسه‌یی در اطراف شمع تحت بار جانبی با استفاده از مدل سازی فیزیکی و دستگاه CT اسکن صنعتی (عکس‌برداری با استفاده از اشعه ایکس) بررسی شد.^[۲] این آزمایش‌ها در چند تراز بارگذاری که به سر شمع اعمال می‌شد، صورت گرفت. در تحلیل این آزمایش‌ها، علاوه بر عکس‌های مقطع عرضی، تصاویر سه‌بعدی گسیختگی خاک بازسازی شد. سپس با استفاده از تحلیل پردازش تصویری^۳ CT اسکن‌ها تهیه شده و الگوهای گسیختگی خاک اطراف شمع‌های تحت بار جانبی بازسازی شد. در شکل ۱ نتایج حاصل از تحلیل پردازش تصویری آورده شده است: سطوح گسیختگی کلی در شکل ۱ تابع جابه‌جایی مختلف نشان داده شده است.^[۲]

آن‌ها به این نتیجه رسیدند که با افزایش بار جانبی اعمالی بر شمع، ناحیه‌ی گسیختگی گسترش یافته و حجم و زاویه‌ی آن زیاد می‌شود. همچنین با افزایش فاصله از سطح خاک، اندازه‌ی ناحیه‌ی گسیختگی کاوش می‌یابد. به اعتقد این دانشمندان شکل ناحیه‌ی گسیختگی در حالت سه‌بعدی تقریباً مخروطی است.^[۲]

توجه به تحقیق فوق نشان می‌دهد که دستگاه CT اسکن وسیله‌یی مؤثر برای بررسی مسائل ژوتکنیکی است، ولی این روش متوجه هزینه‌های بالایی است. اما روش PIV که تا حدود زیادی مشابه این روش است، علاوه بر اقتاصادی بودن، تطابق خوبی با آزمایش‌های ژوتکنیکی دارد و می‌توان به جای استفاده از دستگاه CT اسکن، از روش PIV برای تحلیل نتایج استفاده کرد.

عملکرد PIV در اندازه‌گیری جابه‌جایی‌های محیط خاک بسیار خوب است و دارای دقیقی در حدود یک پانزدهم پیکسل در فضای تصویر است. با PIV، هزاران نقطه‌ی جابه‌جایی می‌تواند در یک میدان دید مشاهده شود؛ علاوه بر این، مکان‌هایی که پچ‌های اندازه‌گیری قرار بگیرند می‌توانند بعد از تغییر شکل خاک تعیین شود که روش را قادر به بهینه‌سازی محل پچ‌ها می‌نماید. دقت روش PIV تابعی از بافت پچ است که به مسیله‌ی اندازه‌ی پچ در فضای تصویر، شکل، اندازه، توزیع و تمایز رنگ ذرات خاک در فضای جسم تعیین می‌شود.^[۴]

حال به طور اجمالی، صحت استفاده از مدل سازی فیزیکی با مقایس کوچک را بررسی می‌کنیم. اگر مدل سازی فیزیکی در مقایسی غیر از مقایس واقعی انجام شود، سؤالی اساسی درباره‌ی اعتبار نتایج حاصل از انجام آزمایش بر روی مدل‌های کوچک و تعیین آن‌ها به مقایس واقعی مطرح می‌شود. بنابراین توجه به قانون‌های



شکل ۴. نمودار دانه بندی خاک مورد نظر.

آن مطابق رابطه‌ی ۴ است:

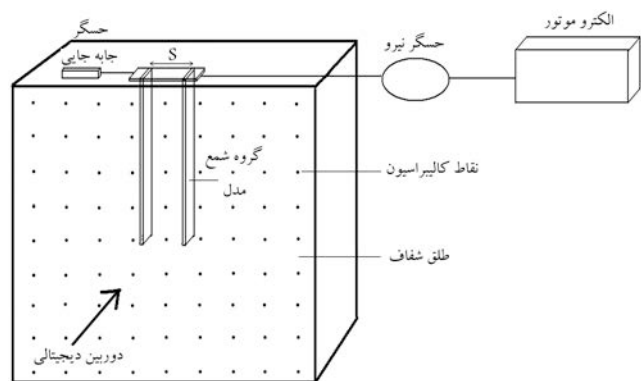
$$\frac{L}{T} \geq 4, \quad T = \sqrt[5]{\frac{EI}{n_h}} \quad (4)$$

در این رابطه، L طول مدفون شمع، T ضریب طول، EI سختی خمشی شمع، و n_h مدل یا بسته عکس العمل افقی بستر است که در این پروژه به صورت تجربی، در حدود 20 Kg/cm^2 در نظر گرفته شده است. با توجه به این که شمع‌های با مقطع مستطیلی دارای ضخامت ناچیز در برابر پنهان، صلبیت کم‌تری دارند و همچنین به دلیل بررسی کیفی بهتر رفتار گروه شمع، مقطع شمع‌ها مستطیلی و با ضخامت خیلی کم انتخاب شده است که در جهت عرض کم‌تر به قسمت جلویی طلق شیشه‌یی تکیه داده می‌شود تا شمع در جهت محور ضعیف تحت بارگذاری قرار گیرد. همچنین به دلیل کم‌تر بودن E آلومینیم نسبت به فولاد، شمع‌های آلومینیمی مورد استفاده قرار گرفت. مشخصات کلی شمع‌های بلند مورد استفاده در آزمایش‌ها در جدول ۲ آمده است.

از آنجا که این نوشتار الگوی تغییر شکل خاک در اطراف گروه شمع که به طور جانبی بارگذاری شده و تأثیر فاصله‌ی شمع‌ها بر آن را بررسی می‌کند، برای دست یابی به این منظور از گروه شمع 1×2 که در استفاده بار جانبی با فواصل مختلف شمع‌ها قرار داده می‌شد، استفاده کردیم. بنا بر این لازم بود دو شمع توسط کلاهکی به هم وصل شود که برای این منظور از کلاهک آلومینیمی با ابعاد $24 \times 3 \text{ cm}^2$ و ضخامت 2 mm استفاده کردیم. هر کدام از شمع‌ها به وسیله‌ی لولایی به کلاهک متصل می‌شد.



شکل ۲. نمایی از محیط آزمایشگاه.



شکل ۳. سازوکار شماجی انجام آزمایش‌ها.

جدول ۱. مشخصات ماسه‌ی مورد آزمایش.

$\gamma_d \text{ max}$	$\gamma_d \text{ min}$	G_s	ϕ
$17.08 \text{ (KN/m}^3\text{)}$	$14.20 \text{ (KN/m}^3\text{)}$	2.637	28°

شفاف از جنس پلاکسی‌گلاس به ابعاد $70 \text{ cm} \times 70 \text{ cm} \times 20 \text{ mm}$ و ضخامت 20 mm به منظور مشاهده‌ی تغییر شکل‌های ایجاد شده در خاک استفاده شد. در شکل ۲ نمایی از محیط آزمایشگاه، و در شکل ۳ شماجی از سازوکار انجام آزمایش‌ها نشان داده شده است.

۳.۱. نحوه انجام آزمایش‌ها

چنان‌که می‌دانیم فراهم کردن شرایط یکسان برای همه‌ی آزمایش‌ها یکی از نکات اساسی در ساخت مدل‌های فیزیکی است. از این رو یکی از مواردی که باید در همه‌ی آزمایش‌ها رعایت شود یکنواختی در ریزش ماسه است. برای این منظور از یک ظرف پلاستیکی استوانه‌یی با دهانه‌ی دایره‌یی و ارتفاع 35 cm و حجم 6 لیتر استفاده کردیم. بدین ترتیب که ظرف مورد نظر از ماسه پر شده و سپس از ارتفاع حدود 50 cm در روی جعبه آزمایش حرکت داده می‌شد تا در طی این فرایند، ماسه به صورت یکنواخت به داخل جعبه ریخته شود.

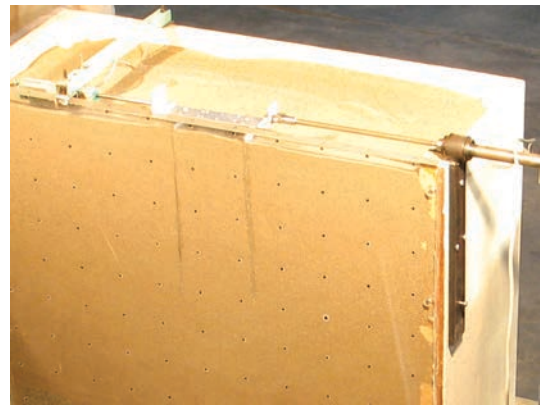
بعد از رسیدن سطح ماسه به ارتفاعی که باید گروه شمع جایگذاری شود، کلاهک گروه شمع به صورت مفصلی به اهرم انتقال نیرو بسته شد و هر کدام از دو شمع

به منظور انجام آزمایش‌ها از ماسه‌ی خشک منطقه‌ی صوفیان، واقع در شمال غرب ایران، استفاده شده است. شرح نتایج حاصل از آزمایش‌های لازم برای تعیین مشخصات ماسه در ادامه آمده است.

آزمایش دانه‌بندی خاک: ماسه‌ی مورد استفاده براساس طبقه‌بندی متحده که مورد تأیید استاندارد ASTM N14-95 است، دانه‌بندی یکنواخت داشته و جزو ماسه‌ی بد دانه‌بندی شده SP قرار می‌گیرد. در شکل ۴ نمودار منحنی دانه‌بندی خاک، و در جدول ۱ سایر مشخصات ماسه‌ی مورد آزمایش ارائه شده است.

۳.۲. شمع‌های مورد استفاده

در این پروژه از شمع بلند برای انجام آزمایش‌ها استفاده شده است که تعریف نظری



شکل ۵. طریقه‌ی بارگذاری گروه شمع.

در طول تغییر شکل خاک، با استفاده از دوربین دیجیتال تصاویر متواالی از صفحه‌ی خاک گرفته می‌شود و سپس تغییر شکل خاک با استفاده از روش سرعت سنجی تصویری ذرات (PIV)، مابین هر جفت تصویر متواالی تعیین می‌شوند. برای به دست آوردن اطلاعات قابل فهم و مفید، بعد از انجام اندازه‌گیری در فضای تصویر، بردارهای جابه‌جایی حاصل با استفاده از تبدیل فتوگرامتریک، از فضای تصویر به فضای جسم منتقل می‌شوند. پارامترهای انتقال براساس مشخصات فنی دوربین، شرایط تصویربرداری و مشخصات پنجره مشاهده و با روش کانون‌یابی تعیین می‌شوند. برای عکس‌برداری از یک دوربین دیجیتال «کان» از نوع G با وضوح تصویر ۱/۷ مگاپیکسل (230×3072) استفاده شد. دوربین با قرارگرفتن روی سه پایه نسبت به سطح افق تراز شد. برای این که عکس‌ها در یک فاصله‌ی زمانی یکسان گرفته و ذخیره شود، از نرم افزار Remote capture استفاده شد. برای تأمین نور محیط، از دو عدد پروژکتور 1500 وات مخصوص نورپردازی استفاده شد که با زاویه‌ی 45° در تراز انتقامی بالاتر نسبت به محور نوری دوربین مستقر می‌شدند.

۴. نتایج حاصل از انجام آزمایش‌ها

آزمایش‌های یادشده براساس عامل تأثیرگذار در رفتار گروه شمع تحت بارگذاری جانبی و با تغییر فاصله‌ی مرکز به مرکز شمع ها انجام گرفت. همچنین به منظور مقایسه‌ی رفتار شمع منفرد با رفتار گروه شمع و اندرکنش شمع - خاک - شمع ایجاد شده، آزمایشی نیز بر روی شمع منفرد انجام شد. بدین منظور شمع بلند با مشخصات مندرج در جدول ۲ یکباره به صورت منفرد و شش بار به صورت گروه شمع دوتایی با فاصله‌ی مرکز به مرکز 1~mm برای پهنای شمع در امتداد بارگذاری جانبی مورد آزمایش قرار گرفت. برای تمامی آزمایش‌ها میزان تغییر مکان اعمال شده به سر شمع تقریباً 15~mm ی می‌باشد. لازم به توضیح است که در این پروژه شمع‌ها به صورت سر آزاد مورد آزمایش قرار گرفتند. نیروی جانبی به صورت ایستا توسط دستگاه بش مسئتم به کلاهک گروه شمع و از سمت راست به چپ آن اعمال می‌شود. سپس اطلاعات حاصله توسط نرم افزار «مطلب» و برنامه‌ی GeoPIV تحلیل می‌شود.

در اشکال 6 الی 17 نمودارها و نتایج حاصل از تحلیل برای شمع منفرد، گروه شمع با فاصله‌ی مرکز به مرکز $1B$ ، $2B$ ، $3B$ و $6B$ آمده است. برای رعایت اختصار، اشکال و نمودارهای مربوط به گروه شمع با فاصله‌ی $2B$ ، $4B$ و $5B$ آورده نشده

به صورت عمود بر سطح خاک قرار گرفت. بعد از قائم کردن گروه شمع بر سطح خاک و طلق شفاف، با استفاده از چسب آن را در چند نقطه روی طلق ثابت کردیم تا در هین زیش ماسه از حالت قائم خارج شود. پس از رسیدن سطح خاک به چسب، چسب پرداخته شد. بعد از زیش ماسه به منظور انجام آزمایش‌ها، سطح مدل مسطح و تراز شد.

۲.۳. طریقه‌ی بارگذاری گروه شمع

برای اعمال بار جانبی به گروه شمع از یک الکتروموتور با سرعت ثابت استفاده شد. نیروی مورد نیاز توسط یک اهرم به کلاهک گروه شمع وارد می‌شود. به دلیل وجود احتمال انحراف اهرم انتقال نیرو به هنگام آزمایش، اهرم از طرف مقابل به وسیله‌ی حلقه‌ی هدایت‌کننده مخصوص دستگاه بش مستقیم محدود شد. برای نصب این حلقه روی جعبه‌ی آزمایش، آن را روی تسممه‌ی فولادی جوش کرده و با پیچ به جعبه‌ی آزمایش متصل کردیم. در شکل ۵ نمایی از طریقه‌ی بارگذاری گروه شمع نشان داده شده است.

۳. عکس‌برداری دیجیتال و پردازش تصویری

این فناوری جدید با ترکیب عکاسی دیجیتال، پردازش تصویری PIV، فتوگرامتری نزدیک برد و کانون‌یابی، این امکان را فراهم می‌کند تا جابه‌جایی‌های خاک بدون نصب نقاط هدف درونی و با دقیقی برابر $1/150000$ میدان دید شناسایی شوند.

جدول ۲. مشخصات شمع بلند.

شماره آزمایش	طول L (cm)	پهنا B (cm)	ضخامت t (cm)	سختی خمی EI (kg.cm 2)	(ضریب طول) T (cm)	L/T	فاصله‌ی مرکز به مرکز شمع ها در امتداد بار جانبی (s)
۱	۳۰	۳	۰,۲	۱۴۳۰	۰,۹	۵,۱۱	شمع منفرد
۲	۳۰	۳	۰,۲	۱۴۳۰	۰,۹	۵,۱۱	۱B
۳	۳۰	۳	۰,۲	۱۴۳۰	۰,۹	۵,۱۱	۲B
۴	۳۰	۳	۰,۲	۱۴۳۰	۰,۹	۵,۱۱	۳B
۵	۳۰	۳	۰,۲	۱۴۳۰	۰,۹	۵,۱۱	۴B
۶	۳۰	۳	۰,۲	۱۴۳۰	۰,۹	۵,۱۱	۵B
۷	۳۰	۳	۰,۲	۱۴۳۰	۰,۹	۵,۱۱	۶B

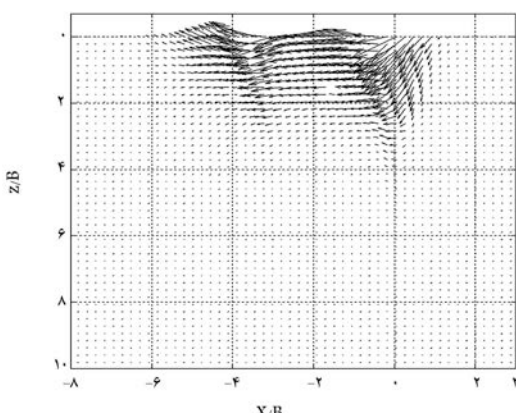
۱. مقایسه‌ی بردارهای جابه‌جایی خاک اطراف شمع منفرد و گروه شمع

برای نشان دادن الگوی تغییر شکل‌های ایجاد شده در پشت و جلوی شمع منفرد و گروه شمع، نیز مقایسه‌ی آن‌ها، از بردارهای جابه‌جایی کل ایجاد شده در نقاط مختلف (اشکال ۶ تا ۹) استفاده می‌کنیم. شایان ذکر است که در این اشکال به لحاظ وضوح بهتر بردارهای جابه‌جایی، این بردارها با بزرگنمایی ۵ برابر ترسیم شده‌اند (اندازه‌ی بردارهای جابه‌جایی ۵ برابر شده است). همچنین در هر مورد زاویه‌ی بردارهای جابه‌جایی کل نسبت به افق برحسب درجه در تراز $z/B = 0$ رسم شده است (شکل ۱۰). چنان‌که در شکل‌های ۶ تا ۹ ملاحظه می‌شود دانه‌های خاک قرار گرفته در فواصل دور از شمع جابه‌جا نشده و در محل اولیه خود باقی می‌مانند. بنابراین اندازه بردارهای جابه‌جایی مربوط به این دانه‌ها صفر است. اما هرچه به محل شمع نزدیک‌تر می‌شویم، دانه‌های خاک قرار گرفته در نزدیک شمع جابه‌جایی پیشتری از خود نشان می‌دهند و بنابراین اندازه بردارهای جابه‌جایی این دانه‌ها بزرگ‌تر است. همچنین با توجه به شکل‌های مذکور در می‌باشیم که دانه‌های خاک قرار گرفته در مجاورت راست هر کدام از شمع‌ها با زاویه‌ی تند رو به پائین (زاویه‌ی منفی نسبت به افق) حرکت می‌کنند، در حالی که دانه‌های خاک موجود در مجاورت چپ آن‌ها با زاویه‌ی ملایم‌تری رو به بالا (زاویه‌ی مثبت نسبت به افق) جابه‌جا می‌شوند؛ این امر با توجه به جهت اعمال نیروی جانبی (از راست به چپ) طبیعی است. به‌دلیل

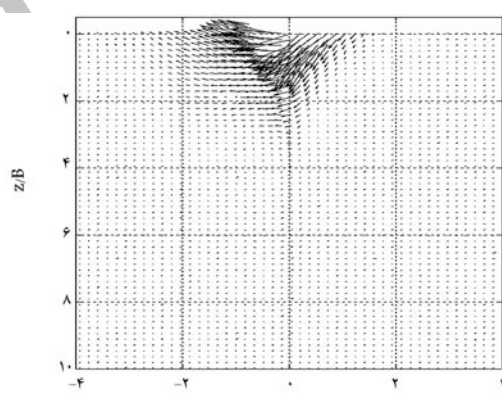
است. یادآور می‌شود که در ادبیات فنی به نزدیک‌ترین ردیف شمع موجود در گروه به نیروی جانبی «ردیف عقب»، و به دورترین ردیف شمع از نیروی جانبی «ردیف جلو» گفته می‌شود. چنان‌که پیش‌تر نیز اشاره شد، کلاً آزمایش بر روی شمع منفرد و گروه شمع انجام شد که نتایج حاصل از آن‌ها چنین مورد بررسی قرار می‌گیرد:

۱. مقایسه‌ی بردارهای جابه‌جایی خاک اطراف شمع منفرد و گروه شمع;
۲. مقایسه‌ی کرنش - برشی ایجاد شده در خاک اطراف شمع منفرد و گروه شمع;
۳. مقایسه‌ی میدان جابه‌جایی ایجاد شده و محدوده تأثیر آن در اطراف شمع منفرد و گروه شمع;
۴. مقایسه‌ی منحنی‌های بار - تغییر مکان شمع منفرد و گروه شمع.

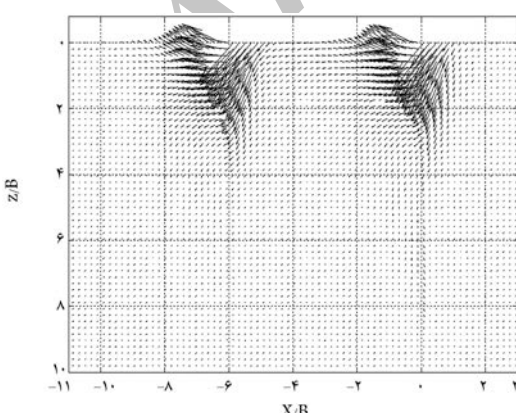
در ادامه، تمامی موارد بالا به تفصیل مورد بحث و بررسی قرار گرفته است. لازم به ذکر است که در تمامی اشکال ۶ الی ۱۶ نقطه ($x/B = 0$) معرف محل قرارگیری شمع منفرد و شمع نزدیک به بار (شمع عقب) در گروه شمع است. بدیهی است که در این اشکال محل شمع دورتر از بار (شمع جلو) در $x/B = -1$ ، برای حالت گروه شمع با فاصله‌ی مرکز به مرکز $B/3$ شمع‌ها با $x/B = -3$ ، برای حالت گروه شمع با فاصله‌ی $3B/6$ شمع‌ها با $x/B = -6$ ، برای حالت گروه شمع با فاصله $B/11$ شمع‌ها با $x/B = -11$ و مبدأ محور قائم ($z/B = 0$) به تراز سطح خاک انتقال یافته است.



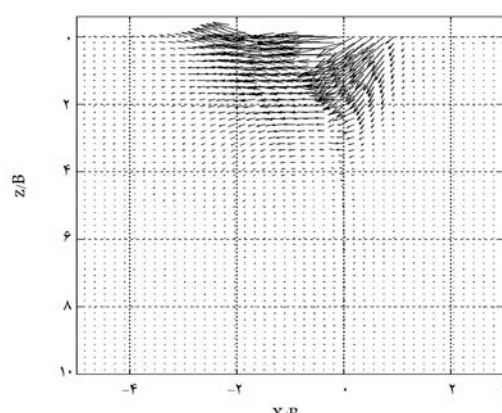
شکل ۸. بردارهای جابه‌جایی کل خاک برای گروه شمع $3B$.



شکل ۶. بردارهای جابه‌جایی کل خاک برای شمع منفرد.



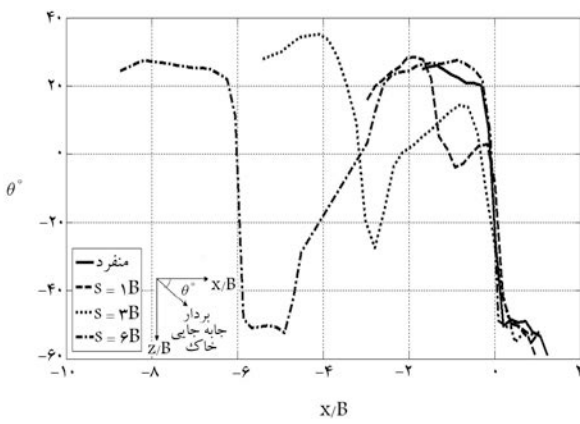
شکل ۹. بردارهای جابه‌جایی کل خاک برای گروه شمع $6B$.



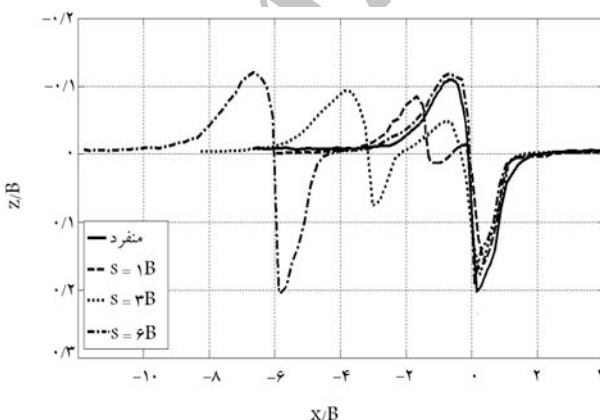
شکل ۷. بردارهای جابه‌جایی کل خاک برای گروه شمع $1B$.

درمی‌باشیم که چون در جلو شمع‌ها $45^\circ > \theta$ است، پس $1 < \tan\theta$ خواهد بود. بنابراین با توجه به تعریف θ در شکل ۱۰ و با تعریف $\theta = \tan\theta$ به صورت نسبت مؤلفه‌ی قائم بردار جابه‌جایی به مؤلفه‌ی افقی آن، به این نتیجه می‌رسیم که در جلو شمع‌ها تحت بار جانی مولفه‌ی افقی بردارهای جابه‌جایی خاک بزرگ‌تر از مؤلفه‌ی قائم آن هاست.

در شکل ۱۱ منحنی جابه‌جایی سطح خاک اطراف شمع منفرد و گروه‌های شمع با فواصل مختلف نشان داده شده است. چنان‌که در هر چهار منحنی ترسیمی در این شکل ملاحظه می‌شود، خاک‌های سطحی موجود در فواصل دور از شمع‌ها جابه‌جا نشده و در همان تراز $= z/B$ باقی مانده‌اند. خاک‌های موجود در عقب شمع‌ها رو به پایین و خاک‌های موجود در جلو شمع‌ها رو به بالا جابه‌جا می‌شوند. همچنین در عقب شمع‌ها به دلیل زاویه‌ی تندتر بردارهای جابه‌جایی، خاک سطحی جابه‌جایی قائم بیشتری دارد. اما در جلو شمع‌ها به دلیل زاویه‌ی ملایم‌تر بردارهای جابه‌جایی، جابه‌جایی افقی خاک بیشتر از جابه‌جایی قائم آن است. این نتیجه از شکل ۱۰ نیز به دست آمده بود. به دلیل وجود اندرکنش شمع - خاک - شمع در گروه شمع $B=1$ ، منحنی جابه‌جایی خاک سطحی مربوط به آن نه در جلو شمع عقب به بالا رفته و نه در عقب شمع جلو به پایین رفته است؛ بنابراین بین دو شمع منحنی تقریباً به صورت افقی است. با افزایش فاصله‌ی شمع‌ها در گروه، منحنی جابه‌جایی سطح خاک اطراف گروه شمع به منحنی مربوط به شمع منفرد نزدیک‌تر می‌شود تا این که در حالت گروه شمع $B=6$ -- به دلیل عدم وجود اندرکنش بین شمع‌ها --



شکل ۱۰. زوایای بردارهای جابه‌جایی کل خاک در $z/B = 0$.



شکل ۱۱. منحنی جابه‌جایی سطح خاک اطراف شمع منفرد و گروه شمع.

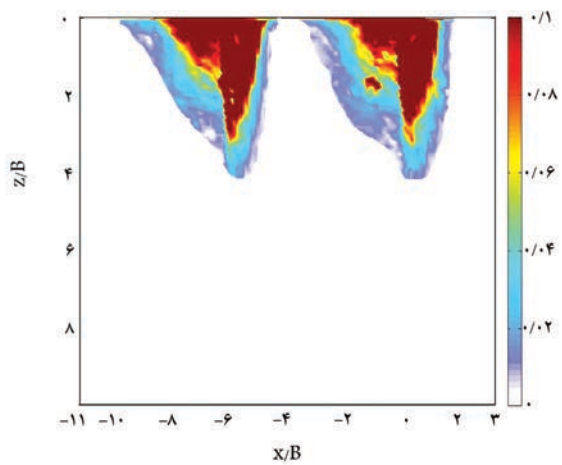
تغییر جهت ناگهانی بردارهای جابه‌جایی خاک در محل شمع‌ها، یک پرش ناگهانی در محل شمع‌ها در هر چهار منحنی ترسیم شده در شکل ۱۰ به وجود می‌آید که با توجه به این که این تغییر جهت در محل شمع عقب محسوس‌تر از شمع جلو است، لذا پرش رخ داده در محل شمع عقب نیز بزرگ‌تر از آن در محل شمع جلو خواهد بود. ولی در حالت فاصله‌ی $z/B = 6$ شمع‌ها، تغییر جهت ناگهانی در محل شمع جلو مشابه شمع عقب است. این بدان معناست که در حالت گروه شمع $B=6$ اثر گروه از بین رفته و شمع‌ها به صورت منفرد رفتار می‌کنند.

نکته‌ی قابل توجه، جابه‌جایی تقریباً افقی دانه‌های خاکِ قرارگرفته بین دو شمع در شکل ۷ است که هم جهت با بار جانی است. چنان‌که ملاحظه می‌شود، زاویه‌ی بردارهای در فاصله‌ی بین دو شمع در منحنی مربوط به گروه شمع $B=1$ در شکل ۱۰ تقریباً صفر است. تفاوتی که در حالت گروه شمع $B=3$ وجود دارد، این است که در این حالت به دلیل زیادتر بودن فاصله‌ی شمع‌ها در گروه، این فرصت به وجود می‌آید که جابه‌جایی دانه‌های خاک موجود در مجاورت چپ شمع عقب رو به بالا و جابه‌جایی دانه‌های قرارگرفته در مجاورت راست شمع جلو رو به پایین باشد. این موضوع را می‌توان از شکل ۸ و منحنی مربوط به آن در شکل ۱۰ نیز دریافت. لذا دیده می‌شود که با افزایش فاصله‌ی شمع‌ها در گروه، اندرکنش بین شمع‌ها کاهش می‌یابد و رفتار شمع‌ها به رفتار شمع منفرد نزدیک‌تر می‌شود. با توجه به شکل ۹ و منحنی مربوط به آن در شکل ۱۰ مشاهده می‌شود که در فاصله‌ی $z/B = 6$ شمع‌ها، دانه‌های خاک در اطراف هر کدام از شمع‌ها همانند دانه‌های اطراف شمع منفرد جابه‌جا می‌شوند و شمع‌ها تأثیری بر رفتار یکدیگر ندارند.

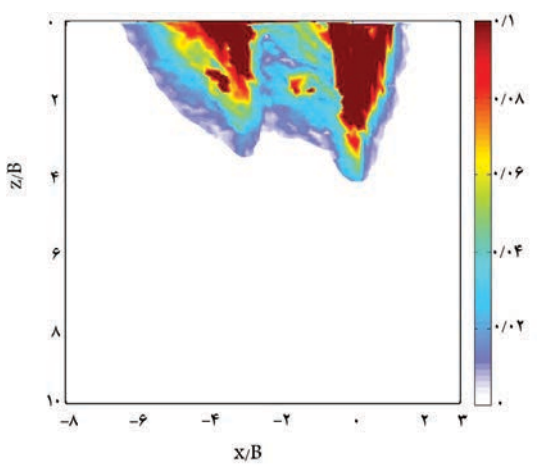
نکته‌ی دیگر این است که برای وارد شدن بار جانی به سرشاری پلند، بیشترین جابه‌جایی افقی نیز در سرشاری رخ می‌دهد و این جابه‌جایی افقی در قسمت‌های پایین تر شمع تدریجی کاهش می‌یابد تا این که از عمق حدود $z=4B$ به پایین، شمع هیچ جابه‌جایی افقی از خود نشان نمی‌دهد، لذا بردارهای جابه‌جایی دانه‌های قرارگرفته در سطح خاک نیز بیشترین اندازه را دارند و به تدریج در عمق‌های پایین تر اندازه‌ی بردارها کم‌تر شده و زاویه‌ی آن‌ها نیز ملایم‌تر می‌شوند تا این که از عمق حدود $z=4B$ به پایین اندازه‌ی بردارهای جابه‌جایی به صفر می‌رسد (شکل‌های ۶ تا ۹).

به منظور مقایسه‌ی زوایایی بردارهای جابه‌جایی ایجاد شده در اطراف شمع منفرد و گروه شمع با فواصل مختلف، این زوایا در شکل ۱۰ برای تراز $= z/B = 0$ (سطح خاک) رسم شده است. شایان ذکر است که در این شکل محور قائم مقدار مثبت زاویه‌ی بردارهای جابه‌جایی رو به بالا و مقدار منفی آن برای بردارهای جابه‌جایی رو به پایین در نظر گرفته شده است. چنان‌که در شکل ۱۰ مشاهده می‌شود، در محل شمع‌ها یک پرش ناگهانی در زاویه‌ی بردارهای جابه‌جایی به وجود می‌آید که این پرش برای شمع عقب بزرگ‌تر از شمع جلو است. به عبارت دیگر، در محل شمع‌ها زاویه‌ی بردارهای جابه‌جایی خاک یکباره از منفی به مثبت تبدیل می‌شوند که این امر ناشی از رو به پایین بودن بردارهای مذکور در عقب شمع‌ها، و رو به بالا بودن آن‌ها در جلو شمع‌هاست. مشاهده می‌شود که در فاصله‌ی $z/B = 6$ شمع‌ها، اثر گروه از فواصل بیش از $6B$ نیز اثر گروه وجود نخواهد داشت.

نکته‌ی دیگر این که با توجه به زاویه‌ی تقریباً صفر نمودار مربوط به گروه شمع $B=1$ در بین دو شمع، به این نتیجه می‌رسیم که در فاصله‌ی نزدیک‌تر شمع‌ها در گروه، خاک بین شمع‌ها به صورت افقی جابه‌جا شده و جابه‌جایی قائم ندارد. به عبارت دیگر رفتار دو شمع شبیه رفتار شمع منفرد خواهد بود. همچنین با توجه به شکل ۱۰



شکل ۱۴. کرنش برشی خاک برای گروه شمع ۶B.



شکل ۱۵. کرنش برشی خاک برای گروه شمع ۳B.

کرنش در این اشکال، وجود اندرکرنش بین شمع ها و تأثیر یک شمع روی رفتار شمع دیگر کاملاً مشهود است. همچنین با مقایسه شکل های مذکور می توان دریافت که بدلیل زیادت بودن فاصله ای شمع ها در شکل ۱۴، تداخل بین گوه های کرنش و درنتیجه اندرکرنش بین شمع ها کم تراز شکل ۱۳ است و رفتار شمع ها به رفتار شمع منفرد نزدیک تر است. در حالت گروه شمع با فاصله ۶B (شکل ۱۵) گوه های کرنش همچ تداخلی با هم ندارند و رفتار هر دو شمع یکسان و همانند رفتار شمع منفرد است.

۳.۴. مقایسه میدان جابه جایی ایجادشده و محدوده تأثیر آن در اطراف شمع منفرد و گروه شمع

برای مقایسه میدان جابه جایی ایجادشده و محدوده تأثیر آن در اطراف شمع منفرد و گروه شمع، از شکل ۱۶ استفاده می کنیم که در آن، این محدوده برای کمینه جابه جایی 0.5° میلی متر رسم شده است.

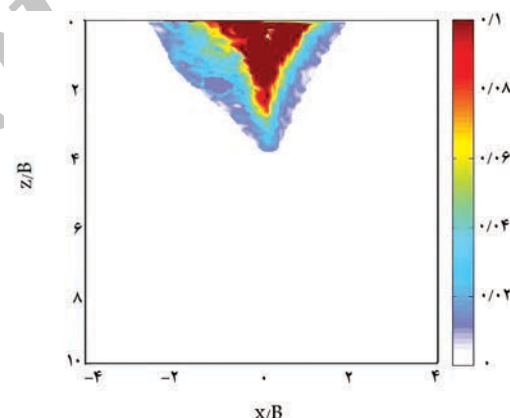
در هر یک از منحنی های این شکل جابه جایی دانه های خاک موجود در داخل محدوده تأثیر، بیشتر از 0.5° میلی متر است. جابه جایی مرز روی منحنی 0.5° میلی متر، و جابه جایی ناحیه ای خارج از محدوده کم تراز 0.5° میلی متر است. در شکل ۱۶ مشاهده می شود که خاک های موجود در اطراف قسمت پایین شمع جابه جا

منحنی مربوطه برای هر شمع مشابه منحنی جابه جایی خاک سطحی اطراف شمع منفرد است.

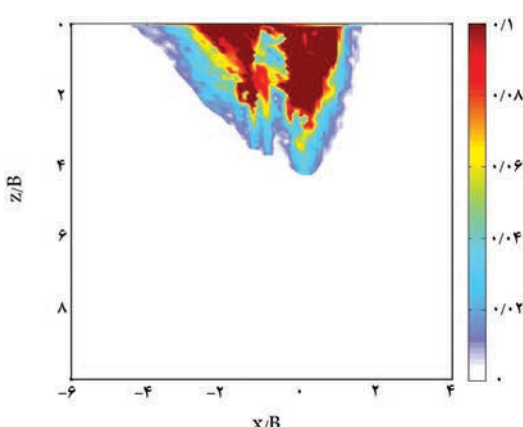
۲.۴. مقایسه کرنش برشی ایجادشده در خاک اطراف شمع منفرد و گروه شمع

در شکل های ۱۵ الی ۱۲ کرنش برشی ایجادشده در خاک اطراف شمع منفرد، گروه شمع با فاصله ۱B، ۳B، ۶B و ۹B رسم شده است. چنان که مشاهده می شود کرنش برشی خاک در محل شمع بیشترین مقدار را دارد و هرچه از محل شمع به اطراف حرکت کنیم مقدار آن کم تر می شود. همچنین با توجه به اشکال ۱۲ الی ۱۵ دیده می شود که در سر شمع ها کرنش برشی برشی بیشترین مقدار را دارد و هرچه از سر شمع ها به پایین حرکت کنیم کرنش برشی تدریجاً کاهش می یابد تا این که از عمق $z=4B$ به پایین هیچ کرنش برشی از خود نشان نمی دهدند. با توجه به مطالب گفته شده، چون شمع بلند از این عمق به پایین جابه جا نشده کرنش برشی در خاک ایجاد نمی شود. با توجه به جهت نیروی اعمالی (راست به چپ)، گوه کرنش به وجود آمده متمایل به سمت چپ است. این موضوع را می توان در اشکال ۱۲ الی ۱۵ مشاهده کرد.

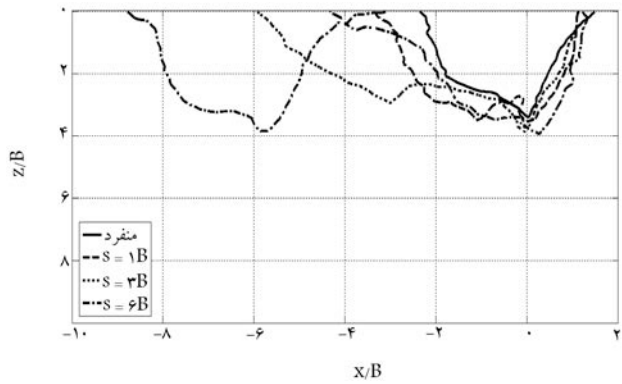
با توجه به اشکال ۱۳ و ۱۴ در می باییم که بدلیل بزرگ تر بودن پرش ناگهانی زاویه بردارهای جابه جایی در شمع عقب نسبت به شمع جلو، کرنش برشی ایجادشده در خاک اطراف شمع عقب بیشتر از شمع جلو است. با توجه به تداخل گوه های



شکل ۱۲. کرنش برشی خاک برای شمع منفرد.



شکل ۱۳. کرنش برشی خاک برای گروه شمع ۱B.

شکل ۱۶. محدوده‌ی تأثیر با کمینه جابه‌جایی 5° میلی‌متر.

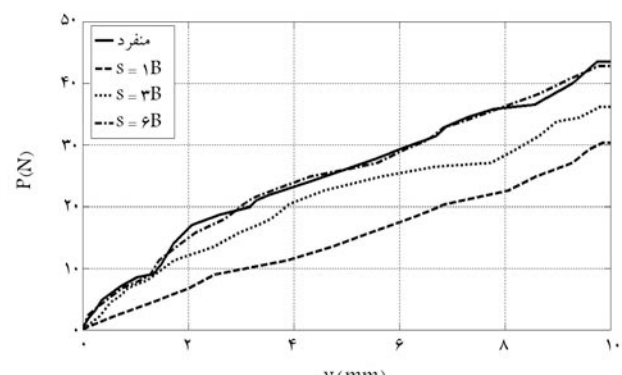
آن‌ها بر حسب میلی‌متر است. یادآور می‌شود که رسم این منحنی برای گروه شمع با فرض صلب‌بودن کلاهک و درنتیجه تغییر مکان افقی یکسان در هر دو شمع موجود در گروه صورت گرفته است. چنان‌که در هر چهار منحنی رسم شده در شکل ۱۷ دیده می‌شود با افزایش نیزه‌ی جانبی، تغییر مکان افقی شمع‌ها نیز بیشتر می‌شود. به‌دلیل اندک‌ترین بسیار زیاد شمع‌ها در حالت گروه شمع B ملاحظه می‌شود که منحنی مربوط به آن پایین‌تر از منحنی‌های دیگر است. با افزایش فاصله‌ی شمع‌ها در گروه منحنی‌بار- تغییر مکان تدریجاً بالاتر می‌رود تا این‌که در حالت گروه شمع $6B$ به‌دلیل عدم وجود اندک‌ترین بین شمع‌ها منحنی مربوط به آن مشابه منحنی مربوط به شمع منفرد است. چراکه می‌دانیم به‌دلیل وجود اندک‌ترین شمع- خاک- شمع در گروه، به‌ازای بار جانبی یکسان وارد به هر شمع، تغییر مکان شمع در گروه بیشتر از تغییر مکان شمع منفرد است. با افزایش فاصله‌ی شمع‌ها در گروه تأثیر شمع‌ها بر یکدیگر کاهش می‌یابد و درنتیجه تغییر مکان شمع‌ها در گروه تأثیر شمع منفرد نزدیک‌تر می‌شود.

۵. نتیجه‌گیری

- با افزایش فاصله مرکز به مرکز شمع‌ها در یک گروه در امتداد بارگذاری جانبی، اثرات اندک‌تر شمع- خاک- شمع کم‌تر شده و رفتار شمع‌ها و خاک اطراف آن‌ها به رفتار شمع منفرد و خاک اطراف آن نزدیک‌تر می‌شود. در فاصله مرکز به مرکز $6B$ شمع‌ها اثر گروه از بین رفته و شمع‌ها به صورت منفرد رفتار می‌کنند.
- در شمع‌های بلند مورد آزمایش، از عمق حدود $=4B$ به پایین، شمع جابه‌جایی افقی از خود نشان نمی‌دهد. خاک اطراف شمع بلند نیز متناسب با تغییر مکان شمع جابه‌جایی می‌شود.
- در جلو شمع‌های تحت بار جانبی، به‌دلیل زاویه‌ی ملایم‌تر بردارهای جابه‌جایی، جابه‌جایی افقی خاک بیشتر از جابه‌جایی قائم آن است. اما در عقب شمع‌ها به‌دلیل زاویه‌ی تندتر بردارهای جابه‌جایی، خاک جابه‌جایی قائم بیشتری دارد. از سطح خاک به پایین، به تدریج جابه‌جایی‌های افقی و قائم خاک کم‌تر می‌شوند.
- بر اثر اعمال بار جانبی به گروه شمع، زاویه‌ی بردارهای جابه‌جایی خاک در اطراف هرکدام از دو شمع به یک‌پاره تغییر قابل توجهی پیدا می‌کند که این تغییر در محل شمع نزدیک‌تر به بار جانبی بیشتر است. بنابراین کرنش برشی ایجاد شده در خاک اطراف آن نیز بیشتر از کرنش برشی به وجود آمده در خاک اطراف شمع دورتر از بار است. با افزایش فاصله‌ی شمع‌ها در گروه، کرنش برشی ایجاد شده در خاک اطراف شمع دورتر از بار نیز بیشتر می‌شود.
- بر اثر اعمال بار جانبی به گروه شمع، خاک‌های سطحی جابه‌جایی بیشتری داشته و زاویه‌ی بردارهای جابه‌جایی نیز تندتر است. اما در عمق‌های پایین‌تر اندازه‌ی بردارهای جابه‌جایی خاک کوچک‌تر شده و زاویه‌ی آن‌ها نیز ملایم‌تر می‌شود.
- با افزایش فاصله‌ی شمع‌ها در گروه، عمق میدان جابه‌جایی خاک، ماین دو شمع به تدریج کم‌تر می‌شود، تا این‌که در فاصله‌ی $6B$ و بیشتر شمع‌ها، خاک موجود در وسط دو شمع هیچ جابه‌جایی ندارد.
- در فواصل کم‌تر شمع‌ها در گروه، دانه‌های خاک ماین شمع‌ها بر اثر اعمال بار جانبی به گروه، صرفاً به صورت افقی جابه‌جایی می‌شوند. با افزایش فاصله‌ی شمع‌ها الگوی تغییر شکل خاک در اطراف هرکدام از شمع‌ها به الگوی تغییر شکل خاک اطراف شمع منفرد نزدیک‌تر می‌شود.

۴. مقایسه‌ی منحنی‌های بار- تغییر مکان در شمع منفرد و گروه شمع

در شکل ۱۷ منحنی‌های نیزه‌ی جانبی- تغییر مکان افقی برای شمع منفرد و گروه شمع رسم شده است. در این شکل محور قائم بیان‌گر نیزه‌ی جانبی اعمالی بررسی شمع منفرد و کلاهک گروه شمع بر حسب نیوتون، و محور افقی بیان‌گر تغییر مکان افقی



شکل ۱۷. منحنی بار- تغییر مکان شمع منفرد و گروه شمع.

پانوشت

1. particle image velocimetry (PIV)
2. group effect
3. image processing

منابع

1. Tominaga, K.; Yamagata, K. and Kishida, H. "Horizontal displacement of soil in front of laterally loaded piles", *Soils and Foundations*, **23**(3), pp. 80-90 (1983).
2. Ashour, M.; Norris, G. and Pilling, P. "Lateral loading of a pile in layered soil using the strain wedge model", *Journal of Geotechnical and Geoenvironmental Engineering*, **124**(4), pp. 303-315 (1998).
3. Otani, J.; Pham, K.D. and Sano, J. "Investigation of failure patterns in sand due to laterally loaded pile using X-ray CT", *Soils and Foundations*, **46**(4), pp. 529-535 (2006).
4. White, D.J.; Take, W.A. and Bolton, M.D. "Soil deformation measurement using particle image velocimetry (PIV) and photogrammetry", *Geotechnique*, **53**(7), pp. 619-631 (2003).
5. Wood, D.M., *Geotechnical Modelling*, John Wiley & Sons, pp. 488 (2004).
6. Prakash, Sh. and Sharma, H., *Pile Foundations in Engineering Practice*, John Wiley & Sons, pp. 733 (1989).
7. Reese, L. and Van Impe, W., *Single Piles and pile Groups Under Lateral Loading*, A.A. Balkema, pp. 463 (2001).
8. Rollins, K.M.; Olsen, R.J.; Egbert, J.J.; Jensen, D.H.; Olsen, K.G. and Garrett, B.H. "Pile spacing effects on lateral pile group behavior: Load tests", *Journal of Geotechnical and Geoenvironmental Engineering*, **132**(10), pp. 1262-1271 (2006).